



تأثير اضافة Yb على خواص التوصيل الفائق للموصل الفائق (Bi,Pb)-2212.

Effect of Yb addition on the superconducting properties of (Bi,Pb)-2212 superconductor

A. Biju, R.P. Aloysius, U. Syamaprasad

الخلاصة

تم دراسة تأثيرات اضافة Yb على طور التغير والخواص فائقة التوصيل لـ (Bi,Pb)-2212 الفائق التوصيل المحضر بطريقة توليف الحالة الصلبة في صورة بلورات متعددة. محتوى Yb في العينات تغير حسب (x = 0-0.5) على التركيب الكيميائي العام لـ $\text{Bi}_{1.7}\text{Pb}_{0.4}\text{Sr}_{2.0}\text{Ca}_{1.1}\text{Cu}_{2.1}\text{Yb}_x\text{O}_y$. تحليلات الطور باستخدام XRD، وفحص التركيب الميكروي باستخدام SEM وقياسات الكثافة والخواص فائقة التوصيل اجريت لتقدير الكفاءة النسبية للعينات. الطور الذي يحتوي على طور ثانوي يمكن تمييزه بتحليل XRD من $Yb > 0.3$ في مستوى التركيب الكيميائي. بينت الدراسات على التركيب الميكروي تغير واضح ومحظوظ مع Yb والطور الثانوي بحببيات ذات حاف دائرية لوحظت في العينات المضاف لها Yb . كثافة التيار الحرجة (J_c) ودرجة حرارة الانقلال (T_c) لكل العينات التي اضيف لها Yb كانت اعلى من العينات النقيّة اعلى $T_{c-onset}$ كانت K 94.5 واعلى J_c هي 688 A/cm^2 للعينة التي كان فيها $Yb = 0.2$ على مستوى التركيب الكيميائي. فوق هذا المستوى T_c و J_c بدأنا في النقصان، وهذا ربما يعود إلى تكون الطور الثانوي.

1. مقدمة

درجة حرارة الانتقال (T_c) وكثافة التيار الحر (J_c) هما اهم خاصيتين للموصليات الفائقة التي يجب اخذهما في الحسبان في التطبيقات التكنولوجية. المواد فائقة التوصيل العالية T_c المعتمدة على Bi تستخدم في صناعة الاسلاك والاشرطة لانها تمتلك قيم T_c و J_c عالية. اجريت دراسات مكثفة لتحسين خواص التوصيل الفائق لمواد فائقة التوصيل معتمدة على Bi.

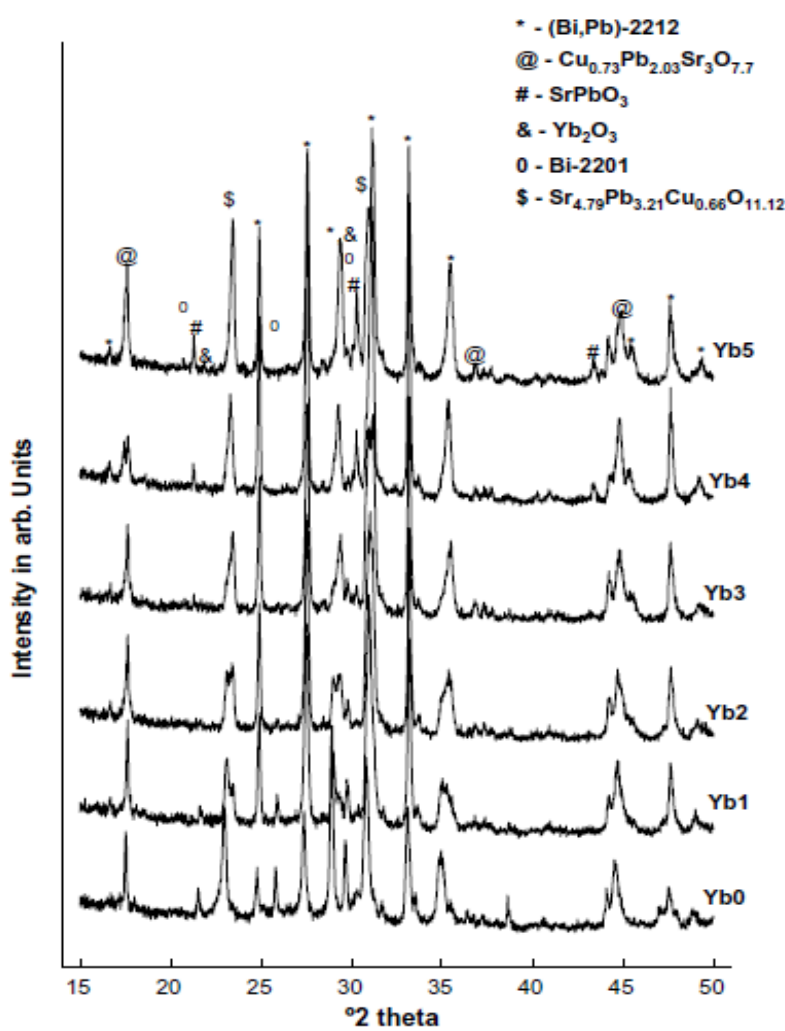
من بين الاطوار الثلاثة المعروفة في المواد فائقة التوصيل Bi هي الصيغة العامة $\text{Bi}_2\text{Sr}_2\text{Ca}_{n-1}\text{Cu}_n\text{O}_y$ حيث n = 1, 2, 3 (Bi-2212, Bi-2201, Bi-2223) Bi-2212 يمتلك بعض المزايا، او لا لان نسبة الاكسجين الكيميائية لا تتغير بالنسبة للتطعيم الكاتيوني عندما تحضر العينات في ظروف متماثلة [1,2] وثانيا له مشاكل ترابط ضعيف اقل بالمقارنة مع Bi-2223.

من بين الجهود المبذولة لتحسين الخواص الفائقة التوصيل لـ Bi-2212، استبدال Bi ب Pb يعطي نتائج واعدة [3-8] واستبدال العناصر الارضية النادرة مكان Ca او Sr اظهر نتائج جيدة لانها تؤدي إلى استقرار في التركيب وتساعد في فهم طبيعة حاملات الشحنة كذلك تأثير تغيير تركيز حاملات الشحنة في النظام [9-19]. معظم الاستبدالات بالعناصر الارضية النادرة تمت على موقع Ca [19-9]. طريقة التفاعل في الحالة الصلبة للتطعيم ب Yb في $\text{Bi}_2\text{Sr}_2\text{Ca}_{1-x}\text{Yb}_x\text{Cu}_2\text{O}_y$ ، فان اعلى قيمة T_c حصل عليها كانت لـ x = 0.25 [17,18].

لتحضير الافلام السميكة بواسطة تقنية الذوبان الجزيئية اعتمدت قيم T_c بشكل اساسي على شروط التحضير التي تحدد ذوبان Yb في مصفوفة Bi-2212 ومقدار الاطوار الثانوية. اعلى T_c تم الحصول عليها للعينات التي كانت فيها الاطوار الثانوية اقل ما يمكن. تقل T_c تدريجيا عندما x في الافلام السميكة تزيد عن 0.25 [17]. دراساتنا الحديثة على اضافة Pr العنصر الارضي النادر [23] على (Bi,Pb)-2212 ادت الى تعزيز قيمة T_c وكذلك J_c. وكمثال لهاذا العمل، ولفهم تأثير استبدال العناصر الارضية النادرة، اجريت في هذا البحث دراسة علمية لتأثير اضافة Yb على الخواص فائقة التوصيل لـ (Bi,Pb)-2212.

2. التجربة

تم تحضير الموصل الفائق (Bi,Pr)-2212 المضاف له Yb بواسطة توليف الحالة الصلبة باستخدام نسب كيميائية عامة لـ $\text{Bi}_{1.7}\text{Pb}_{0.4}\text{Sr}_{2.0}\text{Ca}_{1.1}\text{Cu}_{2.1}\text{Yb}_x\text{O}_y$ (حيث $x=0, 0.2, 0.3, 0.4, 0.5$) حيث $\text{Bi}_{1.7}\text{Pb}_{0.4}\text{Sr}_{2.0}\text{Ca}_{1.1}\text{Cu}_{2.1}\text{Yb}_x\text{O}_y$ (Aldrich, >99.9%) SrCO_3 , CaCO_3 , CuO , Yb_2O_3 , Bi_2O_3 , PbO , كمية (Mettler AE 240)، خلعت بشكل كافي النسب الكيميائية للمكونات تم وزنها باستخدام ميزان الكتروني (Mettler AE 240)، خلعت بشكل كافي ومن ثم طحنت باستخدام مطحنة ومدققة.

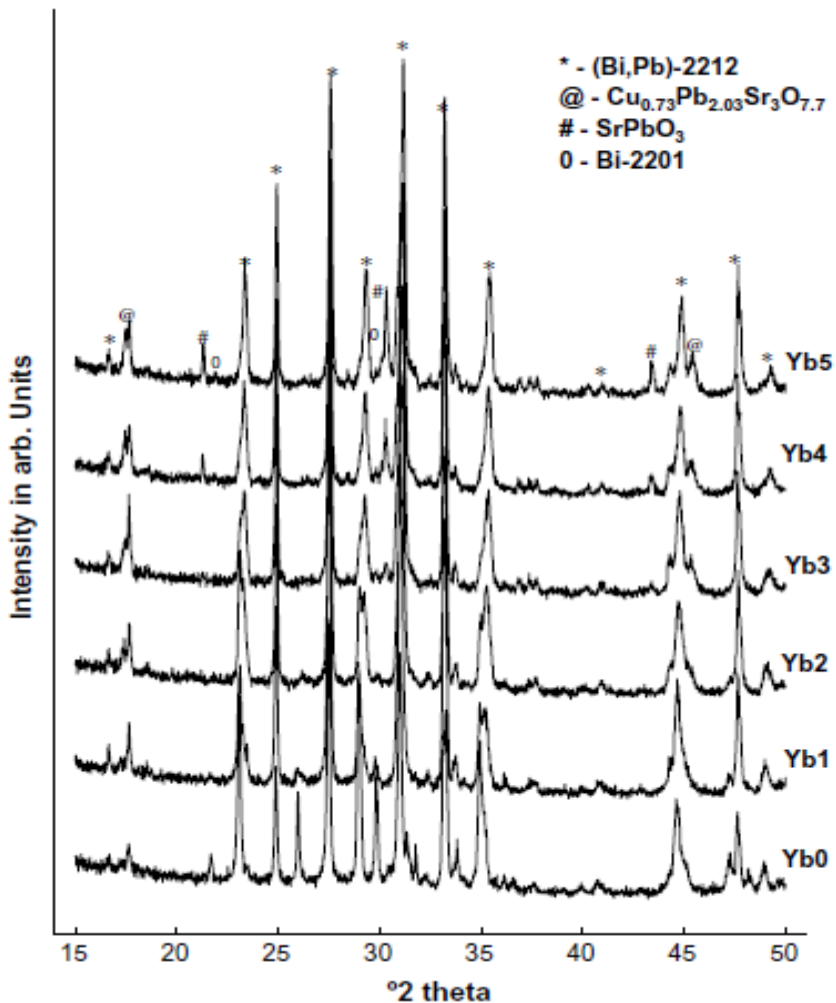


الشكل 1. نماذج حيود اشعة X للعينات التي سخنت عند درجة حرارة 820°C لمدة 20 ساعة.

وضعت العينات في فرن للتسخين في الهواء عند درجات حرارة مختلفة (800°C لمندة 15 ساعة، 820°C لمندة 20 ساعة، 840°C لمندة 40 ساعة) بمعدل تسخين 3°C لكل دقيقة. خطعت العينات الى طحن بين كل مرحلة من مراحل التسخين. بعد عملية التسخين ضغطت العينات لتصبح في صورة اقراص باستخدام اسطوانة قطرها 12 mm تحت قوة مقدارها 60 kN. سخنت الاقراص بعد ذلك في درجة حرارة 845°C لمدة 100 ساعة (50+50) على مراحلتين تخل كل مرحلة ضغط بنفس القوة.

تحليل الطور للعينات تم باستخدام Philips X'pert Pro XRD احادي اللون على جانب شعاع الحيود. تم تحديد الطور باستخدام برنامج X'Pert High score مدعوم بقاعدة بيانات ICDD-PDF 2. تم حساب كثافة الاقراص قبل وبعد مرحلتي التسخين من خلال قياس الكتلة وابعد الاقراص. درجة الحرارة الحرجة والتيار الحرج تم قياسهما باستخدام طريقة المحسات الاربعة بـ $1 \mu\text{V}/\text{cm}^2$ باستخدام جهاز Keithley model 220، ومصدر تيار الثابت هو جهاز Keithley model 220. فحص التركيب الميكروي للعينات تم باستخدام جهاز تحكم في درجة الحرارة Lakeshore model 340. (JEOL JSM 5000LV) SEM.

هذه العينات سوف نشير لها من الان فصاعدا على النحو التالي: $\text{Yb}_0, \text{Yb}_1, \text{Yb}_2, \text{Yb}_3, \text{Yb}_4, \text{Yb}_5$ حيث محتوى Yb في $\text{Bi}_{1.7}\text{Pb}_{0.4}\text{Sr}_{2.0}\text{Ca}_{1.1}\text{Cu}_{2.1}\text{Yb}_x\text{O}_y$ على $x = 0, 0.1, 0.2, 0.3, 0.4, 0.5$ التوالي.



الشكل 2. نماذج حيود اشعة X للعينات بعد التسخين عند درجة حرارة 840°C لمدة 40 ساعة

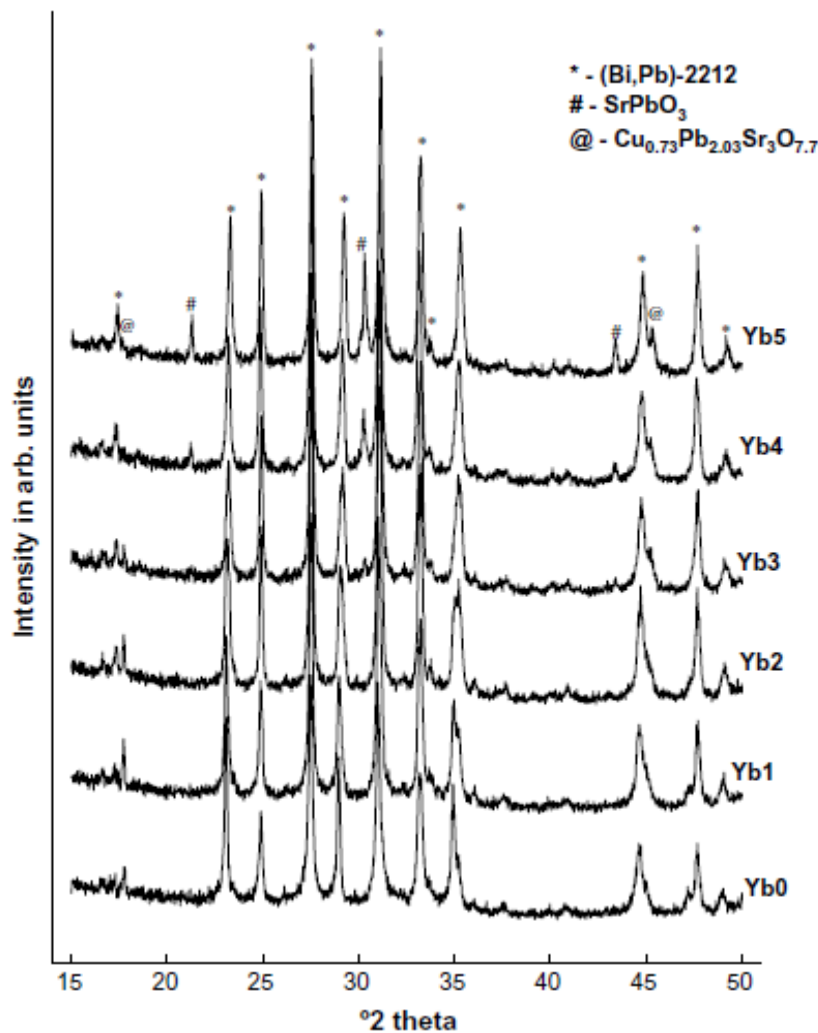
3. النتائج والمناقشة

الشكل 1 يبيّن نماذج XRD للعينات بعد تسخينها عند درجة حرارة 840°C لمدة 20 ساعة. الاطوار التي رصدت الاكثر هي $(\text{Bi},\text{Pb})\text{-2212}$ ، Bi-2201 ، Yb_2O_3 ، $\text{Cu}_{0.73}\text{Pb}_{2.03}\text{Sr}_3\text{O}_{7.7}$ ، SrPbO_3 ، و Yb . بمقارنة القمم في الشدة يمكن كما اشير اليها في قاعدة بيانات ICDD-PDF 2.2 اكتشاف انتشار $\text{Sr}_{4.79}\text{Pb}_{3.21}\text{Cu}_{0.66}\text{O}_{11.12}$ في الماء. ان نرى ان الحجم الجزيئي لـ Bi-2201 يتلاقي مع زراعة محتوى Yb . هذا يثبت ان اضافة Yb يعزز نمو الشكل $(\text{Bi},\text{Pb})\text{-2212}$.

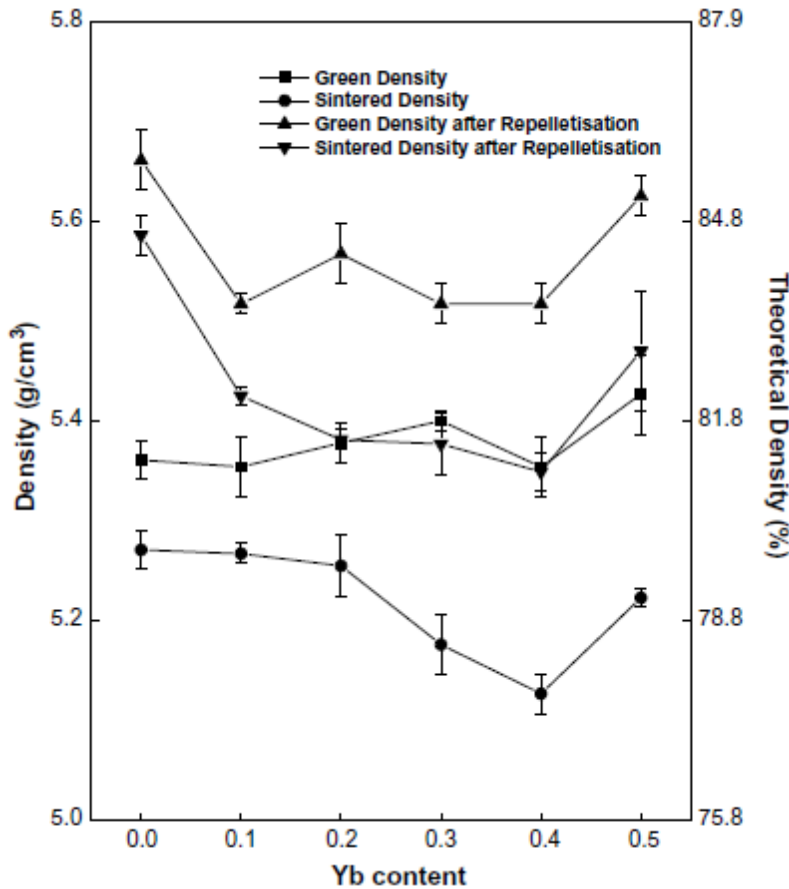
نمذج XRD للعينات بعد التسخين عند 840°C لمدة 40 ساعة موضح في الشكل 2. عند هذه المرحلة نسبة صغيرة جداً من Bi-2201 موجودة في Yb0 و Yb1. في نمذج Yb4 و Yb5 وجدت قمم لـ SrPbO_3 . القمم الأكثر وجوداً في كل العينات هي $(\text{Bi},\text{Pb})\text{-}2212$ وجزء صغير من $\text{Cu}_{0.73}\text{Pb}_{2.03}\text{Sr}_3\text{O}_{7.7}$ موجود في كل العينات.

الشكل 3 يوضح نمذج XRD للعينات بعد آخر مرحلة تسخين. الطور الوحيد الذي وجد في كل العينات عند هذه المرحلة هو $(\text{Bi},\text{Pb})\text{-}2212$ ما عدا لـ Yb4 و Yb5 حيث كمية صغيرة من SrPbO_3 وجدت أيضاً $\text{Cu}_{0.73}\text{Pb}_{2.03}\text{Sr}_3\text{O}_{7.7}$.

الشكل 4 يوضح التغيير في كثافة العينات بعد مراحل التسخين المختلفة كدالة في محتوى Yb. قيم الكثافة كنسبة في الكثافة النظرية لـ $(\text{Bi},\text{Pb})\text{-}2212$ (6.6 g/cc) موضحة على المحور اليمين في الشكل.



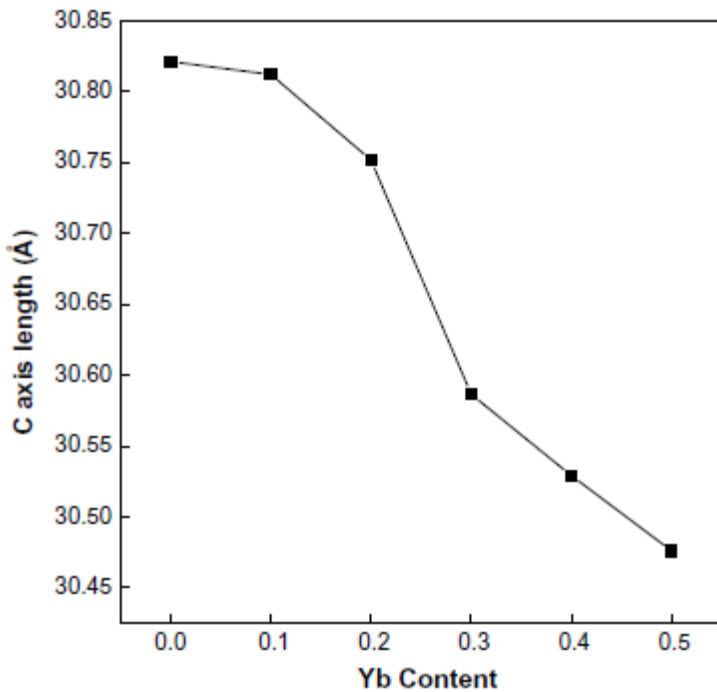
الشكل 3. نماذج حيود اشعة X للعينات بعد اخر مرحلة معالجة حرارية



الشكل 4. تغير الكثافة للعينات بعد مراحل المعالجة الحرارية المختلفة.

يتضح من المنحني ان كثافة عملية التصليد الحراري لكل العينات اقل من الكثافة المقابلة للمعالجة الحرارية السابقة. ومن المعتمد ان نشير اليها بعملية التكثيف العكسي (densification retrograde) وهي تعتبر خاصية تميز انظمة BSCCO. كما انه لوحظ ايضا ان عينة Yb5 تعطي زيادة في الكثافة بالمقارنة مع العينات الاخرى المضاف لها Yb.

اجريت حسابات معامل الشبكة على افتراض ان هناك تماثل بلوري معيني مستقيم (orthorhombic) لـ $(\text{Bi}, \text{Pb})\text{-}2212$.



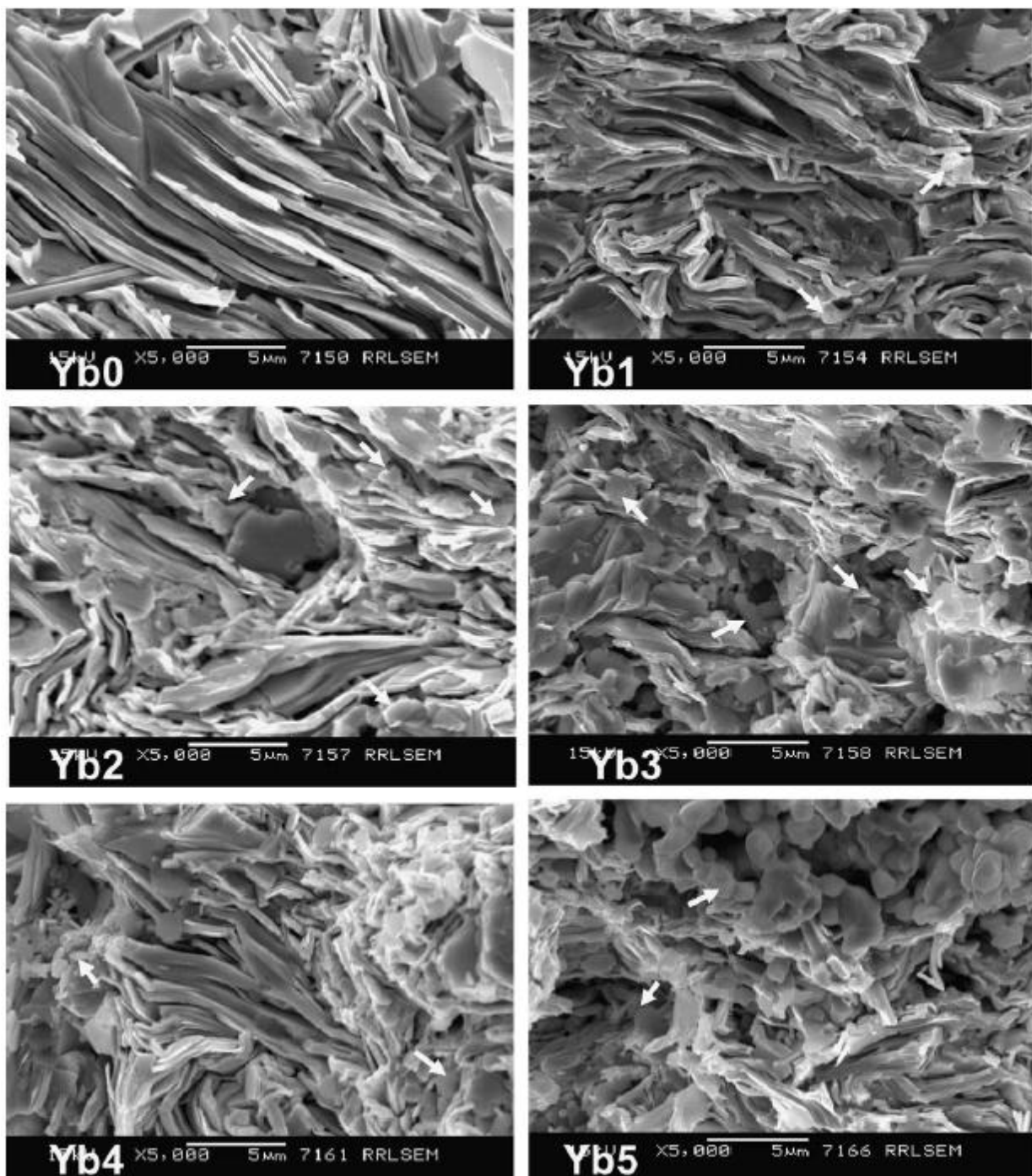
الشكل 5. تغير معامل المحور c للعينات (بعد اخر مرحلة معالجة حرارية) كدالة في محتوى Yb

التغير في معاملات محور c للعينات بعد اخر مرحلة من المعالجة الحرارية موضح في الشكل 5. لوحظ ان المحور c ينكمش بزيادة محتوى Yb ، ولكن لم يحدث أي تغير ملحوظ على محوري a و b .

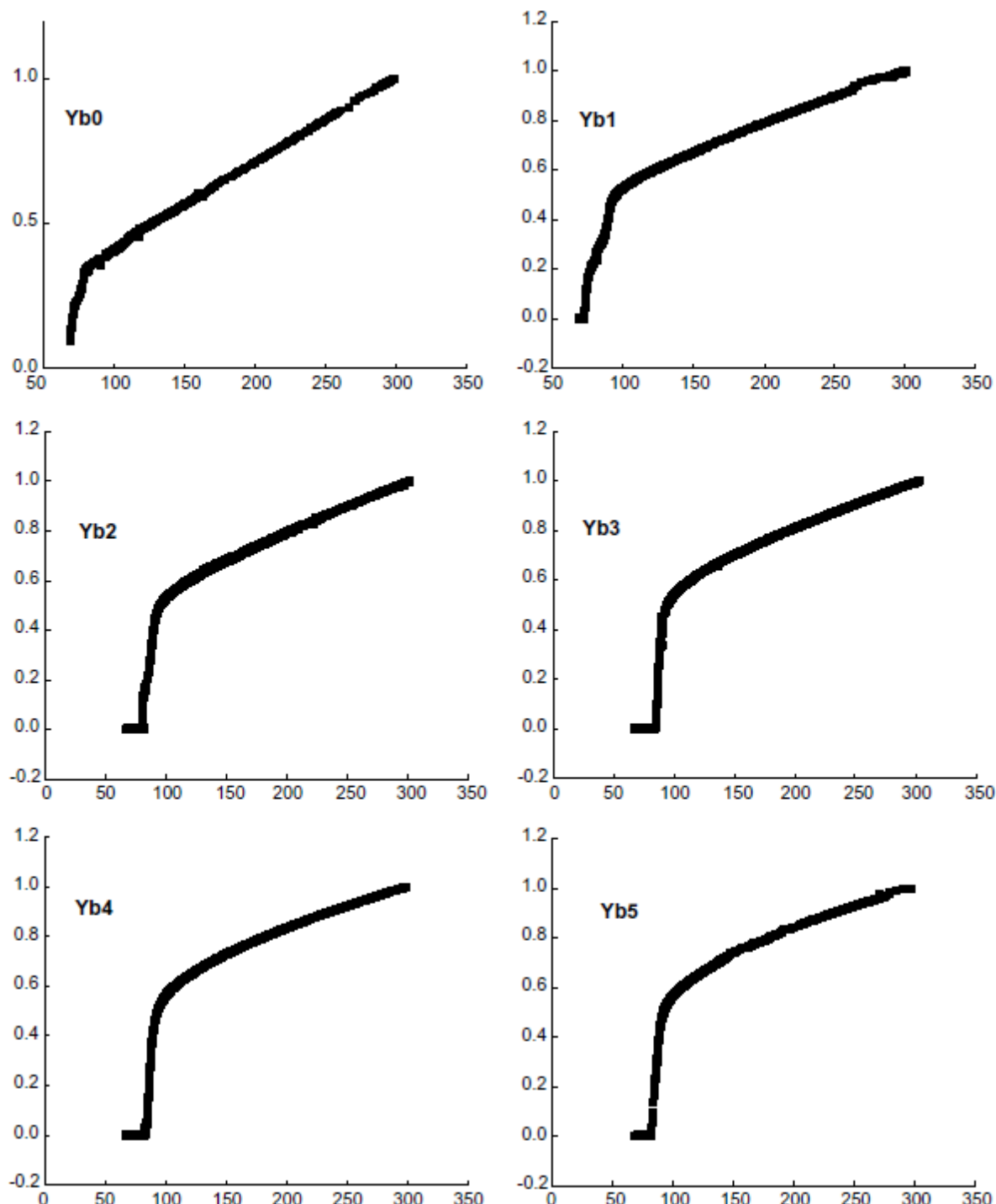
صورة SEM للعينات بعد اخر مرحلة معالجة حرارية اخذت بواسطة بوضعيه الاستطرارة الخلفية موضح في الشكل 6. الشكل السطحي القشرى الحبيبي والنظيف لـ BSCCO لوحظ في عينة Yb_0 . ولكن العينات التي تحتوي على Yb فان حجم الحبيبات اصغر من Yb_0 ويتناقص مع زيادة محتوى Yb . من Yb_1 واعلى طور ثانوي بحافة دائرية وجدت موزعة على المصفوفة الرئيسية للعينات وللعينة Yb_5 يوجد مناطق كاملة تحتوي على الطور الثانوي منفصلة عن المصفوفة الرئيسية. كما يوضح الشكل 6 ايضا ان المسامية في العينة يزداد بزيادة محتوى Yb . هذا ربما يكون السبب في نقصان الكثافة في العينات المضاف لها Yb . الزيادة الصغيرة في الكثافة للعينة Yb_5 (الشكل 4) يمكن ان تكون بسبب الكثافة العالية لمستعمرات الطور الثانوي.

يوضح الشكل 7 التغير في المقاومية المعيارية كدالة في درجة الحرارة لمختلف العينات. كل العينات تظهر سلوك معدني عند درجة حرارة أعلى من T_c . العينات المضاف لها Yb اظهرت قيم $T_{c-onset}$ أعلى من العينات النقية. العينة 2 Yb2 اظهرت أعلى قيمة $T_{c-onset}$ تساوي K 94.5 حيث ان العينة النقية (Yb0) اظهرت $T_{c-onset}$ تساوي K 79، عينة 3 Yb3 ايضا اظهرت تقريب قيمة مشابهة وهي K 94. من العينة 4 Yb4 واعلى يتناقص فيها T_c . الشكل 8 يوضح التغير في $T_{c-onset}$ مع محتوى Yb. انها توضح ان $T_{c-onset}$ تصل قيمه عظمى عند 2 Yb2 ومن ثم تتناقص الجدول 1 يعطي قيم $T_{c-onset}$ و T_{c-zero} للعينات المختلفة.

الغيرات في كثافة التيار الحرجة (J_C) كدالة في محتوى موضع في الشكل 9. عنية Yb_2 تبين ان قيمة J_C هي 688 A/cm^2 عند درجة حرارة $K 64$ في حين ان العينة النقية اعطت 110 A/cm^2 .



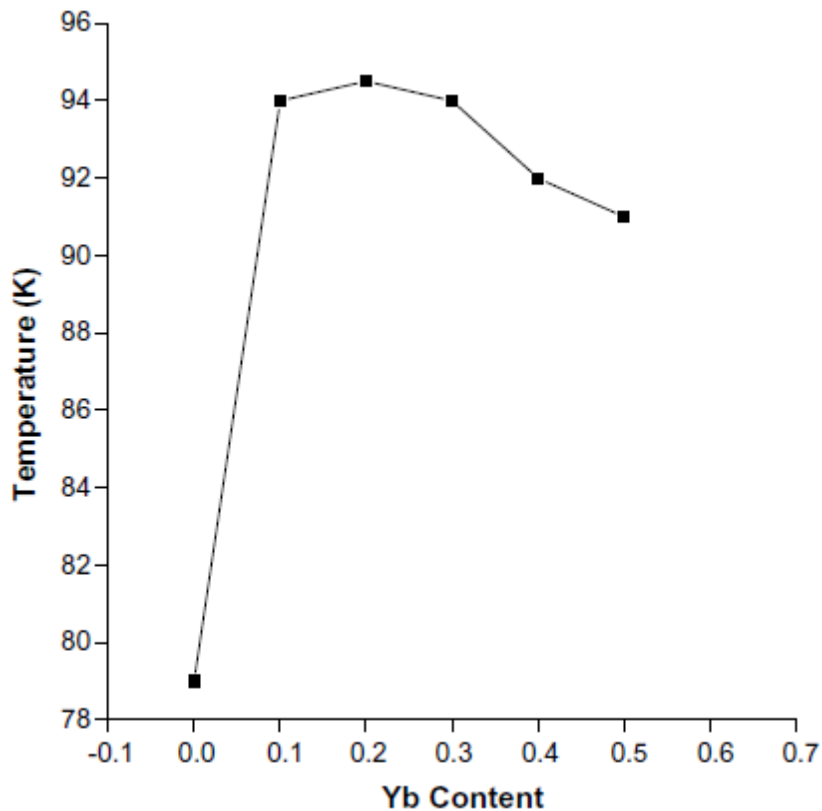
الشكل 6. صور SEM للعينات بعد اخر مرحلة معالجة حرارية، اخذت بنمط الاستطرارة الخلفية (الاسهم على الصور توضح الاطوار الثانية).



الشكل 7. تغير المقاومية المعيارية للعينات كدالة في درجة الحرارة.

هذه النتائج تبين ان الاضافة الافضل لـ Yb عند $x = 0.2$ هي التي تعزز قيمة T_c كذلك J_c - (Bi,Pb) . هذه النتائج مقارنة مع دراساتنا السابقة في حالة Pr [23]. حيث انه عند $x = 0.2$ وجد ان كلا من J_c و $T_{c\text{-const}}$ اعلى ما يمكن في النسب الكيميائية $\text{Bi}_{1.7}\text{Pb}_{0.4}\text{Sr}_{2.0}\text{Ca}_{1.1}\text{Cu}_{2.1}\text{Pr}_x\text{O}_y$.

مع زيادة محتوى Yb فان قيمة محور c تتناقص وهذا يدل على ان Yb يشغل التركيب البلوري (الشكل 5). هذا التناقص يمكن ان يعزى إلى حقيقة ان اضافة Yb تؤدي إلى زيادة في محتوى الاكسجين [1]. الزيادة في الاكسجين يمكن ان تندمج في طبقات $\text{O}-\text{Bi}$. هذا يحدث انكماش لطبقات $\text{O}-\text{Bi}$ ويسبب زيادة في تكافؤية روابط $\text{O}-\text{Bi}$ [24] مما ينتج عنه نقصان في محور c . النقص في طول محور c يكون ابطئ بعد $x > 0.3$. وهذا يمكن ان يكون بسبب التسبّع في الاكسجين في مستويات تعليم عالية. بمقارنة نصف القطر الانيوني L تستبدل باي من الكاتيونات الثلاثة. لكن نماذج XRD للعينات بعد اخر مرحلة معالجة حرارية تبين وجود SrPbO_3 مع قمم من $\text{Cu}_{0.7}\text{Pb}_{2.03}\text{Sr}_3\text{O}_{7.7}(\text{Bi},\text{Pb})-2212$ و SrPbO_3 التي بينت ان ايونات Sr^{2+} استبدلت بايونات Yb^{3+} وشكلت الطور الثانوي SrPbO_3 . في حالة اضافة Pr لم يظهر الطور الثانوي في نتائج XRD [23]، ولكن EDX اعطت تأكيد على وجود الطور الثانوي. صور SEM اعطت تأكيد على وجود الاطوار الثانوية. عند التعليم العالي فان ايونات Yb الاضافية تشكّل مستعمرات الطور الثانوي

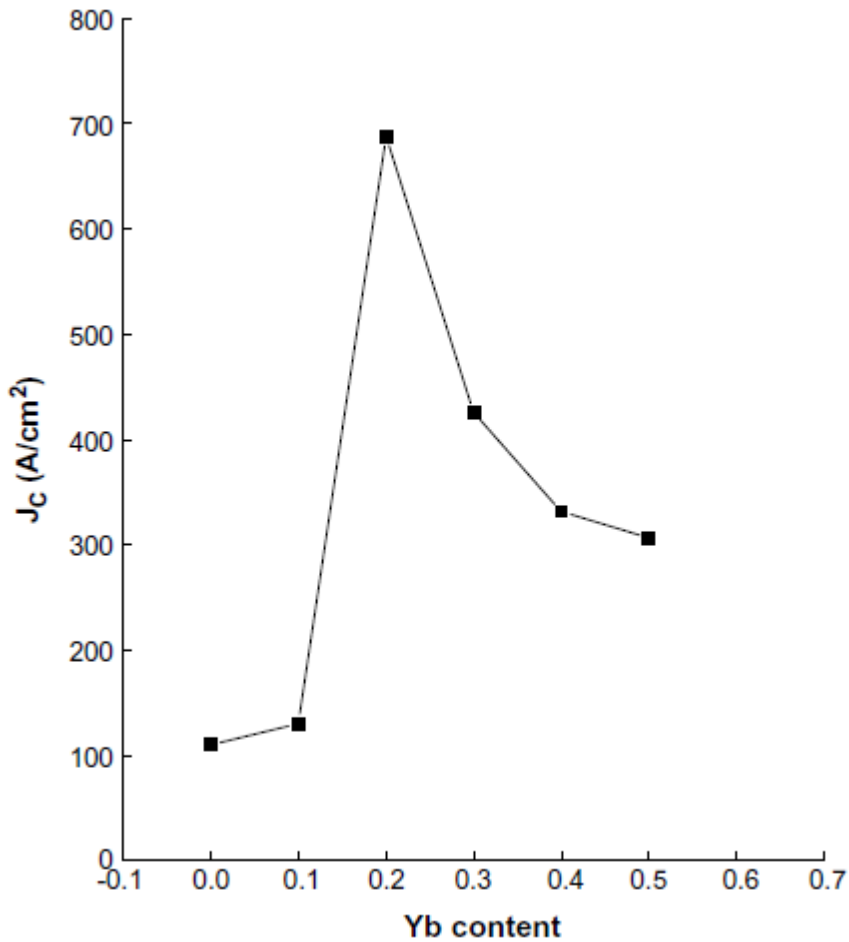


الشكل 8. تغير $T_{\text{c-onset}}$ كدالة في محتوى Yb.

الجدول 1

قيم $T_{\text{c-zero}}$ و $T_{\text{c-onset}}$ للعينات

Sample name	$T_{\text{C-zero}}$ (K)	$T_{\text{C-onset}}$ (K)
Yb0	67.5	79
Yb1	72	94
Yb2	81.5	94.5
Yb3	85	94
Yb4	83	92
Yb5	80	91



الشكل 9. تغير J_c كدالة في محتوى Yb.

التي هي واضحة في صور SEM لعينة Yb5. كذلك احد الاسباب للنقصان في معامل c يمكن ان يكون بسبب الحجم الانيوني الصغير لايون Yb^{3+} . هذا الاستبدال للكاتيون ثنائي التكافؤ بایون ثلاثي التكافؤ سوف يسبب تغيرات في تركيز حاملات الشحنة ويمكن ان يؤدي الى عدم تجانس لطبقات مستودعات الشحنة. التعليم في طبقات مستودع الشحنة قد يكون مطلوبا للحصول على تركيز حاملات الشحنة المرغوب به، والعيب في او بالقرب من طبقات CuO هي مضره للخواص فائق التوصيل مثل J_c و T_c . اعطى Buzea و Yamashita [25] تفسير نظري بان التغير في T_c مع تركيز التعليم (x) يعتمد على نسبة حجم الموصولة الفائقة والحجم الكلي وتصبح قيمة عظمى عند قيمة محددة لـ x ومن ثم تتناقص.



4. الاستنتاج

تم دراسة تطور الطور و خواص التوصيل الفائق والتركيب المايكروي لـ 2212-(Bi,Pb) بسبب اضافة Yb. لقد وجد ان Yb يحسن تكوين 2212-(Bi,Pb)، كذلك كثافة التيار الحر (J_c) و درجة الحرارة الحرجة (T_c) لـ 2212-(Bi,Pb) يمكن ان يزداد باضافة Yb. هذا يعود الى تركيز حاملات الشحنة نتيجة استبدال ايونات Sr²⁺ بأيونات Yb³⁺. النقصان في J_c و T_c بعد x>0.2 يعود الى تكون طور ثانوي بعد تشبّع الـ Sr²⁺ في موقع Yb³⁺. الـ Sr تحتوي على طور ثانوي رصد بواسطة تحليل XRD للعينات التي اضيف لها Yb و مناطق الطور الثانوي شوهدت في صور SEM لـ Yb5 قد يعود الى Sr التي تحتوي الطور.

تمت الترجمة في المركز العلمي للترجمة

www.trgma.com

28-4-2011